



دانشگاه شهروردی و فنون پیوسته

مجله پژوهش‌های حفاظت آب و خاک  
جلد هجدهم، شماره چهارم، ۱۳۹۰  
<http://jwfst.gau.ac.ir>

## مدل‌سازی منطقه‌ای دبی سیلابی در استان همدان با استفاده از شبکه عصبی مصنوعی

مجتبی شادمانی<sup>۱</sup>، صفر معروفی<sup>۲</sup>، کوروش محمدی<sup>۳</sup> و علی‌اکبر سبزیپور<sup>۴</sup>

<sup>۱</sup>دانشجوی کارشناسی ارشد، گروه آبیاری و زهکشی، دانشگاه بوعالی سینا، <sup>۲</sup>دانشیار گروه آبیاری و زهکشی، دانشگاه بوعالی سینا، <sup>۳</sup>دانشیار گروه آبیاری و زهکشی، دانشگاه تربیت مدرس، <sup>۴</sup>دانشیار گروه آبیاری و زهکشی، دانشگاه بوعالی سینا  
تاریخ دریافت: ۷/۸/۸۸؛ تاریخ پذیرش: ۵/۲/۹۰

### چکیده

سیل یکی از بلایای طبیعی مهمی است که همه ساله باعث ایجاد خسارت‌های مالی و جانی فراوانی به جوامع مختلف می‌گردد. به همین دلیل محققین سعی نموده‌اند که تغییرات کمی این پدیده را حتی‌المقدور بطور دقیق مورد بررسی قرار دهند. در این تحقیق، کارایی روش‌های شبکه عصبی مصنوعی و سامانه اطلاعات جغرافیایی در برآورد دبی سیلابی ۹۰ زیرحوضه استان همدان (با زمان‌های تمرکز کمتر از ۲۴ ساعت)، با توجه به آمار ۱۶ ساله مربوط به ۱۷ ایستگاه آب‌سنجدی موجود در منطقه مورد ارزیابی قرار گرفت. بدین منظور مقادیر مساحت، ارتفاع و شبکه متوسط، مساحت‌های گروه هیدرولوژیکی خاک، متوسط وزنی شماره منحنی نفوذ و همچنین بارندگی‌های یک و پنج روزه ماقبل سیل نظیر حوضه، به عنوان متغیرهای ورودی شبکه و دبی سیلابی به عنوان متغیر خروجی بکار گرفته شد. با توجه به مراحل آموزش، اعتبارسنجی و آزمون، نتایج بدست آمده نشان داد که بهترین ساختار، شبکه عصبی مصنوعی پیشخور با دو لایه پنهان به ترتیب دارای ۵ و ۴ عنصر پردازشگر بود. در مدل منتخب مقادیر ضریب تعیین، جذر میانگین مریع خطأ و میانگین خطای مطلق در مرحله آزمون به ترتیب ۰/۸۷، ۰/۷۲ و ۰/۸۳ بودند. در نهایت با محاسبه مقادیر بیشینه بارش‌های یک و پنج روزه برای دوره بازگشت ۲۵ ساله و همچنین با بکارگیری مدل بهینه منتخب، توزیع مکانی دبی سیلابی در کلیه زیرحوضه‌ها ارائه گردید. بر این اساس مناطق سیل خیز استان به منظور انجام برنامه‌ریزی مناسب توسعه مسئولین ذیرپیش شخص شدند. در مجموع، این نتایج بیانگر آن است که روش شبکه عصبی مصنوعی ابزاری مناسب برای مدل‌سازی دبی سیلابی، بهویژه در هنگام نبود داده‌ها یا کمبود ایستگاه‌های آب‌سنجدی می‌باشد.

**واژه‌های کلیدی:** بارندگی، دبی سیلابی، مدل‌سازی، شبکه عصبی مصنوعی، استان همدان.

\* مسئول مکاتبه: smarofi@yahoo.com

## مقدمه

سیل از عمدترين سوانح طبیعی است که بدليل تحمیل خسارات سنگین بر جوامع بشری و حیات طبیعی، همیشه مورد توجه مدیران و برنامه ریزان جهت کاهش اثرات آن بوده است. یکی از راهکارهای کاهش خسارت‌ها، پنهان‌بندی میزان پتانسیل سیل خیزی اراضی می‌باشد. به عبارت دیگر تفکیک نواحی سیل خیز و تعیین سهم عوامل موثر در آن، می‌تواند در تدوین مدیریت مناسب برای سیاست‌گذاری‌های میان‌مدت و کوتاه‌مدت در بهره‌برداری بهینه از اراضی، نقش ویژه‌ای داشته باشد. در این رهگذر، اولویت‌بندی به روش کمی باستی بیشتر مدنظر قرار گیرد تا از ارائه راهکارهای سلیقه‌ای و کیفی در مباحث سیل خیزی و کنترل سیل پرهیز گردد.

جهت برآورده بی سیلابی در حوضه‌های فاقد آمار، از مدل‌های تجربی مختلفی از جمله روش تحلیل منطقه‌ای سیلاب، استفاده می‌شود. اما به دلیل آنکه هر حوضه آبریز ویژگی‌های خاص خود را دارا می‌باشد، لازم است روش‌هایی استفاده شود که بتوان براساس خصوصیات ذاتی هر حوضه، بی سیلابی آن را شبیه‌سازی نماید. طی دهه‌های اخیر، مدل شبکه‌های عصبی مصنوعی<sup>۱</sup> به ابزاری جهت پیش‌بینی تبدیل شده و نتایج قابل قبولی در زمینه‌های مختلف از خود نشان داده است. مدل شبکه عصبی مصنوعی با الهام از سیستم عصبی انسان، نوعی هوش مصنوعی است که از طریق معروفی عملکرد یک سیستم دینامیکی، آموزش یافته و در مواردی که مدل قبلًا با آن مواجه نشده است، مورد استفاده قرار می‌گیرد. اصلی‌ترین مزیت نگرش شبکه عصبی مصنوعی نسبت به روش‌های کلاسیک (ریاضی و آماری) این است که شبکه‌های عصبی مصنوعی نیازی به توضیح صریح مکانیزم فرآیندها (از قبیل مفاهیم ریاضی) را ندارد (پریرا فیلهو و دوز سانتوز، ۲۰۰۶).

شبکه عصبی مصنوعی بطور نسبتاً محدودی در پیش‌بینی جریان آبراهه‌ای و جریان سیلابی مورد نقد و بررسی قرار گرفته و نتایج دست آمده حاکی از عملکرد مناسب آن بوده است (ایمری و همکاران، ۲۰۰۰؛ ترومالایاح و دئو، ۲۰۰۰؛ توکار و جانسون، ۱۹۹۹). جین و چالیزگونکار (۲۰۰۰) از شبکه عصبی برای ایجاد منحنی دبی-اشنل استفاده نمودند. آنها با ایجاد شبکه‌های با ساختار متفاوت به این نتیجه رسیدند که کلیه شبکه‌های ایجاد شده از نظر معیارهای ارزیابی، پاسخ مناسب‌تری در مقایسه با روش کلاسیک آماری برآش منحنی ارائه می‌دهند و شبکه عصبی مصنوعی یک ابزار بسیار کارا در تعیین منحنی دبی-اشنل می‌باشد.

تاکنون مطالعات زیادی در خصوص موضوع سیل خیزی انجام شده است. از جمله در بعد بین‌المللی، می‌توان به تحقیقات ساهو و همکاران (۲۰۰۶) اشاره نمود. ایشان با استفاده از شبکه عصبی مصنوعی در رودخانه‌های کوهستانی حوضه مشخصه منطقه اهایو<sup>۱</sup> آمریکا به پیش‌بینی پارامترهای کیفیت آب (دما، کدورت، اکسیژن محلول و pH) و نیز سیلاب ناگهانی منطقه پرداختند. نتایج مربوطه، نشان‌دهنده توان بالای شبکه عصبی مصنوعی در پیش‌بینی پارامترهای مذکور بود. در دو منطقه جنوب غربی انگلستان، برآورد دبی اوج در حوضه‌های آبخیز فاقد داده‌های آب‌سنجدی با استفاده از شبکه عصبی مصنوعی و روش‌های ستی معمول مورد بررسی قرار گرفت. پژوهشگران به این نتیجه رسیدند که بر اساس معیار سنجش (میانگین مربع خط)، روش شبکه عصبی بر دیگر روش‌ها ارجحیت دارد (هال و مینس، ۱۹۹۸). در تحقیق دیگر کرح و لی (۲۰۰۶) در کشور تایوان در حوضه رودخانه کوپینگ<sup>۲</sup> با بکارگیری شبکه عصبی مصنوعی، برآورد دبی سیلابی را در پایین‌دست حوضه مزبور برآورد نمودند. نتایج آنها نشان‌دهنده تاثیر قابل توجه خصوصیات فیزیوگرافی بالادست در دقت پیش‌بینی دبی سیلابی بوده و این روش را جهت پیش‌بینی دبی سیلابی و ارائه نظرات مهندسی در حوضه‌های فاقد آمار پیشنهاد نمودند.

در تحقیقی که توسط داؤسون و همکاران (۲۰۰۶) در یکی از حوضه آبریز کشور ایرلند انجام گرفته، با استفاده از شبکه عصبی مصنوعی و خصوصیات ژئومورفولوژیکی زیر‌حوضه‌ها اقدام به برآورد دبی سیلاب برای دوره‌های بازگشت ۱۰، ۲۰ و ۳۰ ساله و همچنین سیلاب شاخص<sup>۳</sup> گردید. نتایج مدل شبکه عصبی با روش‌های تجربی برآورد سیلاب مقایسه شد. نتایج این تحقیق نشان داد که مدل شبکه عصبی بر مدل‌های رگرسیون چند متغیره ارجحیت داشته و فاکتورهای ژئومورفولوژیکی اثر قابل توجهی در نتایج مدل دارند. همچنین مایر و دندی (۲۰۰۰) شبکه عصبی پرسپترون<sup>۴</sup> سه لایه را برای تهیه آبنمود واحد بکار گرفتند. نتیجه آنها حاکی از آن است که آبنمود واحد براساس شبکه عصبی، نتایج قابل قبول‌تری نسبت به روش‌های ستی نظیر شرمن<sup>۵</sup> ارائه می‌نماید.

1- Oahu

2- Kooping

3- Index

4- Perceptron

5- Sherman

قنواتی (۲۰۰۳) در راستای شناسایی عوامل مختلف هیدرولرژیکی و فیزیوگرافی در بروز سیل در حوضه گاماسیاب، ۱۲ متغیر ژئومورفولوژیکی و فیزیوگرافی را با استفاده از روش آماری رگرسیون چند متغیره، مورد تجزیه و تحلیل قرار داد. در نهایت، مدل پیش‌بینی سیلاب حوضه بر اساس متغیرهای ضریب رواناب، ضریب گراولیوس<sup>۱</sup>، ارتفاع متوسط، شبیب ناخالص رودخانه، شبیب و مساحت حوضه و همچنین طول رودخانه حوضه ارائه شد. همچنین زمانی و عنایتی (۲۰۰۶) پهنه‌بندی خطر سیل در حوضه‌های فشنده و بهجت‌آباد (واقع در استان‌های تهران و قزوین) را با استفاده از خصوصات ژئومورفولوژیک حوضه‌ها و بکارگیری روش وزن‌دهی در محیط سامانه اطلاعات جغرافیایی (GIS)<sup>۲</sup> انجام دادند. نتایج حاصله بیانگر آن است که حوضه‌های با شبیب زیاد و ضریب گراولیوس کمتر، ضریب سیل خیزی بیشتری را دارا هستند. همچنین محمدی و همکاران (۲۰۰۵) با استفاده از داده‌های دبی جریان بهاره و بارش، با سه روش رگرسیون، شبکه عصبی مصنوعی و مدل سری زمانی آریما<sup>۳</sup>، جریان ورودی به مخزن سد کرج را پیش‌بینی نمودند. نتایج بدست آمده بیانگر برتری مدل شبکه عصبی مصنوعی بر دو مدل دیگر بود.

رهنما (۲۰۰۳) پیش‌بینی سیلاب حوضه آبریز قره‌آغاج را با استفاده از شبکه عصبی مصنوعی مورد بررسی قرار داد. معناری شبکه عصبی با یک، دو و سه لایه پنهان با ترکیب‌های مختلف از عناصر پردازش (PEs)<sup>۴</sup> در هر لایه آزمون شده و بهترین ساختار شبکه برای پیش‌بینی دبی با گام زمانی یک ساعته، مدلی با چهار عنصر پردازش در یک لایه پنهان بود. در تحقیق دیگری رضایی و همکاران (۲۰۰۷) با استفاده از خصوصیات فیزیوگرافی حوضه‌های آبریز سفیدرود و بارندگی‌های یک و پنج روزه ماقبل سیل نظیر، اقدام به مدل‌سازی منطقه‌ای دبی اوج نمودند. در تحقیق مذکور، شبکه مطلوب از نوع پیشخور و با دو لایه پنهان بود. همچنین این نتایج بیانگر ارجحیت کامل مدل شبکه عصبی مصنوعی بر روش‌های سنتی (رگرسیون چند متغیره خطی) بوده، که ضرورت استفاده از آن را در مدل‌سازی روابط بارش‌رواناب الزامی می‌سازد.

در استان همدان که موضوع این تحقیق می‌باشد، تحقیقات اندکی در این خصوص صورت گرفته است. مریانچی و معروفی (۲۰۰۵) با استفاده از GIS و روش SCS، رواناب حوضه‌ی آبریز قره‌چای

1- Gravelius

2- Geographic Information Systems (GIS)

3- Auto Regressive Integration Moving Average (ARIMA)

4- Processing Elements (PEs)

را برآورد نمودند. در این رابطه رواناب حوضه به هفت کلاس تقسیم شده و احتمال وقوع هر یک از کلاس‌ها برای دوره‌های بازگشت ۲۵، ۵۰، ۱۰۰ و ۲۰۰ ساله محاسبه گردید. نتایج این تحقیق بیانگر انطباق بسیار زیادی بین نقشه مدل رقومی و عمق جریان بوده، بطوری که با حرکت از مناطق مرتفع به طرف مناطق پست حوضه، سطوح با عمق رواناب کمتر، افزایش می‌یابند.

گلمحمدی و همکاران (۲۰۰۹) بر اساس GIS و روش‌های مختلف زمین‌آماری، تغییرات مکانی ضریب رواناب سالانه این استان را مورد ارزیابی قرار دادند. نتایج مربوطه نشان داد که روش کوکریجنگ با مدل دایره‌ای، مناسب‌ترین تحلیل مکانی ضریب رواناب را دارا می‌باشد. در تحقیق دیگری معروفی و همکاران (۲۰۱۰)، تغییرات مکانی مشخصه‌های بارش سالانه استان همدان را بررسی نمودند. نتایج بدست آمده نشان داد که روش کریجنگ ساده با مدل واریوگرام نمایی، بهترین روش برای درونیابی مقادیر میانگین بارندگی بود. همچنین روش کریجنگ ساده (با مدل دایره‌ای) و معمولی (با مدل گوسین) به ترتیب مناسب‌ترین روش‌های درونیابی مقادیر بیشینه و کمینه بارندگی بودند. این استان دارای حوضه‌های آبریز وسیعی است و بدليل محدود بودن تعداد ایستگاه‌های آب‌سنجدی آنها، اطلاعات و آمار ثبت شده، نمی‌تواند بیانگر تغییرات مکانی رواناب در سطح منطقه باشد. بنابراین برآورد دقیق توزیع مکانی دبی سیلابی امری ضروری می‌باشد. در این تحقیق سعی گردید که با استفاده از GIS و روش‌های زمین‌آماری، کارایی شبکه عصبی مصنوعی در برآورد دبی سیلابی ناشی از رواناب مستقیم<sup>۱</sup> (تفاوت بین دبی‌های اوج و پایه آبنمود) حوضه‌های آبریز اصلی و فرعی استان مورد بررسی قرار گیرد. از دیگر اهداف تحقیق، بکارگیری شبکه عصبی مصنوعی در تخمین سیلاب مناطق فاقد آمار (ایستگاه آب‌سنجدی) بود.

## مواد و روش‌ها

۱- منطقه مورد مطالعه: استان همدان با مساحتی در حدود ۱۹۵۴۶ کیلومترمربع یکی از نواحی کوهستانی غربی کشور می‌باشد که در مختصات جغرافیایی ۳۳ درجه و ۳۳ دقیقه تا ۳۵ درجه و ۳۸ دقیقه عرض شمالی و ۴۷ درجه و ۴۵ دقیقه تا ۴۹ درجه و ۳۶ درجه طول شرقی واقع شده است. بلندترین نقطه این استان قله الوند به ارتفاع ۳۵۷۴ متر از سطح دریا و پست‌ترین نقطه آن نیز در محل

خروجی رودخانه قره‌چای (بخش شراء) به ارتفاع ۱۵۰۵ متر از سطح دریا می‌باشد (گل‌محمدی و همکاران، ۲۰۰۹).

**روش انجام تحقیق:** در این تحقیق، از داده‌های سنجش از دور و تکنیک‌های GIS به منظور مدل‌سازی ژئومورفولوژیکی سیلان استفاده گردید. بدین منظور ابتدا لایه‌های موضوعی مختلف مانند مدل رقومی ارتفاع<sup>۱</sup>، نقشه‌های کاربری اراضی و پوشش گیاهی، شب، گروه هیدرولوژیکی خاک و موقعیت حوضه‌های آب‌سنجدی و زیرحوضه‌های منطقه با استفاده از نرم افزارهای ArcGIS ۹/۲ و ArcHydro تهیه شدند.

تهیه نقشه‌های کاربری اراضی، گروه هیدرولوژیکی خاک و شماره منحنی: براساس تصاویر ماهواره‌ای (لنست<sup>۲</sup> TM) و بازدیدهای صحرایی، نقشه‌های کاربری اراضی به سطوح باغات، کشت‌های آبی و دیم، مراتع علفی، مراتع ضعیف و مناطق مسکونی تفکیک شد. جهت تهیه نقشه گروه هیدرولوژیکی خاک، نفوذپذیری خاک منطقه مورد مطالعه به روش استوانه‌های مضاعف<sup>۳</sup> تعیین و بر اساس مقدار نفوذ، خاک‌ها به گروه‌های هیدرولوژیکی A، B، C و D ردیابی شدند. از تلفیق نقشه کاربری اراضی و گروه‌های هیدرولوژیکی خاک، نقشه شماره منحنی (CN)<sup>۴</sup> برای منطقه مورد مطالعه تهیه گردید.

تهیه داده‌های ایستگاه‌های باران‌سنجدی و آب‌سنجدی: با استفاده از آمار و اطلاعات ۳۳ ایستگاه باران‌سنجدی و ۱۷ ایستگاه آب‌سنجدی در کل منطقه مورد مطالعه استفاده گردید (شکل ۱). از آنجا که بارندگی یکروزه سیل‌زا یکی از متغیرهای ورودی مدل بوده است، بهمنظور هم‌آهنگی نسبی بین تداوم بارش و زمان تمرکز حوضه، ایستگاه‌های آب‌سنجدی که زمان تمرکز آنها کمتر از ۲۴ ساعت بود، بعنوان ایستگاه منتخب در نظر گرفته و در محاسبات بعدی بکار برده شدند. طول دوره آماری مورد نظر ۱۶ سال می‌باشد (۱۳۸۴-۱۳۶۹) که انتخاب این دوره، با توجه به وجود داده‌های ایستگاه‌های آب‌سنجدی مورد استفاده، صورت گرفت.

- 
- 1- Digital Elevation Model (DEM)
  - 2- LandSat
  - 3- Thematic Mapper (TM)
  - 4- Double Rings
  - 5- Curve Number (CN)



شکل ۱- موقعیت ایستگاه‌های باران‌سنجدی و آب‌سنجدی منتخب در محدوده مورد مطالعه (مقیاس ۱:۱,۰۰۰,۰۰۰).

**برآورد مقادیر متغیرهای ورودی و خروجی مدل:** با استفاده از نقشه‌های موضوعی تهیه شده در کل استان همدان، متغیرهای مساحت، ارتفاع و شیب متوسط، مساحت گروه هیدرولوژیکی خاک و متوسط وزنی CN، برای محدوده ایستگاه‌های آب‌سنجدی اندازه‌گیری شد. به کمک آبنمودهای حاصل از گزارش‌های سیلاب ایستگاه‌های آب‌سنجدی استان همدان، دبی‌های سیلابی ناشی از رواناب مستقیم استخراج گردید. بارندگی یک روزه مربوط به زمان وقوع دبی سیلابی در هر آبنمود و در کل ایستگاه‌های باران‌سنجدی داخل و مجاور حوضه به روش پلیگون تیسن محاسبه شد. همچنین بارندگی پنج روزه ما قبل هر دبی سیلابی به روش فوق تهیه گردید. در نهایت داده‌های سیلابی با منشاء باران و آبنمودهای با ضریب رواناب کمتر از  $0.8/0$  (اطمینان از عدم تاثیر یا تاثیر اندک ذوب برف)، به تعداد ۳۳۳ مورد برای استفاده در ساخت مدل انتخاب شدند (رضایی و همکاران، ۲۰۰۷).

**تعیین ساختار شبکه عصبی مصنوعی:** شبکه عصبی مصنوعی که ملهم از سیستم‌های عصبی بیولوژیکی می‌باشد، از تعدادی عناصر پردازش تشکیل شده است که معمولاً بصورت موازی عمل

می‌کنند و در معماری‌های منظمی شکل می‌یابند. یک شبکه عصبی مصنوعی، قابلیت یادگیری<sup>۱</sup>، فرآخوانی<sup>۲</sup> و تعمیم یافتن از الگوهای یادگیری داده‌ها را دارا است. این شبکه‌ها می‌توانند برای یک عمل خاص با تعديل وزن‌های بین عناصر، آموزش بینند. معمولاً شبکه‌های عصبی مصنوعی آموزش می‌بینند تا یک ورودی خاص را به یک خروجی خاص تبدیل نمایند. مزیت این شبکه‌ها آن است که قادر به مدل‌سازی سیستم‌های خطی و غیرخطی می‌باشند (ریاد و همکاران، ۲۰۰۴).

پارامترهای مساحت، ارتفاع متوسط، شیب متوسط، متوسط وزنی CN، مساحت‌های گروه هیدرولوژیکی خاک و همچنین بارندگی یک و پنج روزه ماقبل سیل نظیر، به عنوان ورودی شبکه و دبی سیلانی به عنوان خروجی در نظر گرفته شدند. پارامترهای ورودی مزبور به صورت تصادفی به سه بخش آموزش و اعتبارسنجی و آزمون تفکیک گردید. بدین صورت که ۷۰ درصد داده‌ها برای آموزش (۲۳۳ مورد)، ۲۰ درصد داده‌ها برای اعتبارسنجی (۶۷ مورد) و مابقی برای آزمون شبکه عصبی مصنوعی (۳۳ مورد) بکار رفته و مقادیر بیشینه و کمینه نیز در بخش آموزش قرار داده شدند.

پس از نرمال نمودن داده‌ها، برای انجام محاسبات و ساخت شبکه عصبی مصنوعی از نرم‌افزار NeuroSolutions ۵ استفاده گردید. برای تعیین میزان تاثیرگذاری هر یک از متغیرهای ورودی در اندازه تغییرات متغیر خروجی تحلیل، حساسیت‌سنجی انجام گرفت و با تغییر یک متغیر ورودی در دامنه مورد قبول و ثابت نگهداشتن سایر متغیرها نسبت به برآورد مقدار متغیر خروجی اقدام گردید. درصد تغییرات متغیر خروجی نشان‌دهنده میزان اهمیت متغیر ورودی مربوطه می‌باشد (طبری و همکاران، ۲۰۰۹).

**بررسی توزیع مکانی دبی سیلانی زیرحوضه‌های هیدرولوژیکی:** با استفاده از آمار حداقل بارش‌های یک و پنج روزه ایستگاه‌های باران‌سنجی، پهنه‌بندی بارش‌های یک و پنج روزه (برای دوره بازگشت ۲۵ ساله) در محدوده استان همدان انجام شد. بدین منظور از روش‌های زمین‌آماری کریجینگ معمولی (OK)<sup>۳</sup> و توابع پایه شعاعی (RBF)<sup>۴</sup> و وزن‌دهی فاصله معکوس<sup>۵</sup> برای تخمین متغیر اندازه‌گیری نشده مورد استفاده قرار گرفت. در مورد روش کریجینگ مدل‌های دایره‌ای<sup>۶</sup>

1- Learning

2- Recall

3- Ordinary Kriging

4- Radial Basis Function

5- Inverse Distance Weighted

6- Circular

کروی<sup>۱</sup>، نمایی<sup>۲</sup> و گوسین<sup>۳</sup> بکاربرده شد. همچنین برای روش توابع پایه شعاعی، مدل‌های توابع اسپلاین کاملاً منظم<sup>۴</sup>، مولتی‌کوادریک معکوس<sup>۵</sup>، مولتی‌کوادریک، اسپلاین با کشش<sup>۶</sup>، اسپلاین صفحه نازک استفاده گردید.

در روش‌های مختلف میانیابی، مقادیر برآورده از مجموع حاصل ضرب یک فاکتور وزنی در مقادیر نقاط مشاهده‌ای به دست می‌آید. معادله کلی در روش‌های مختلف میانیابی بصورت زیر است، تفاوت روش‌های میانیابی، در برآورد فاکتور وزنی یادشده می‌باشد.

$$Z^*(x_i) = \sum_{i=1}^n \lambda_i \cdot Z(x_i) \quad (1)$$

در این رابطه  $Z^*(X_i)$  مقدار متغیر مکانی برآورده شده،  $Z(X_i)$  مقدار متغیر مکانی مشاهده شده در نقطه  $X_i$  و  $\lambda_i$  وزن آماری که به نمونه  $X_i$  نسبت داده می‌شود و بیانگر اهمیت نقطه  $i$  ام در برآورد است (گلمحمدی و همکاران، ۲۰۰۹).

با بکارگیری نقشه‌های موضوعی تهیه شده و بیشینه بارش‌های یک و پنج روزه در کل استان، مقادیر متغیرهای ورودی مدل (مساحت، ارتفاع و شبیه متوسط، مساحت‌های گروه هیدرولوژیکی خاک، متوسط وزنی CN و همچنین بیشینه بارندگی‌های یک و پنج روزه ماقبل سیل نظری) برای کلیه زیرحوضه‌های هیدرولوژیکی (۹۰ مورد) اندازه‌گیری شد. در نهایت با استفاده از مدل منتخب شبکه عصبی، توزیع مکانی دبی سیلابی منطقه مورد مطالعه ساله برآورد گردید.

برآورد سیل ۲۵ ساله در محل ایستگاه‌های آب سنجی: جهت تفسیر نتایج مدل منتخب شبکه عصبی، با توجه به داده‌های ثبت شده در محل ایستگاه، ابتدا مقادیر بیشینه سالانه سیلاب در ایستگاه‌های آب سنجی انتخاب گردید، سپس با توجه به مناسبترین توزیع آماری منطبق بر داده‌ها، سیل با دوره بازگشت ۲۵ ساله محاسبه گردید.

1- Spherical

2- Exponential

3- Gaussian

4- Completely Regularized Spline

5- Inverse Multiquadric

6- Spline With Tension

معیارهای ارزیابی: بهمنظور ارزیابی روش‌های مورد استفاده در برآورد دبی سیالابی، از معیارهای متداول که شامل ضریب تعیین ( $R^2$ )<sup>۱</sup>، جذر میانگین مربع خطأ (RMSE)<sup>۲</sup> و میانگین خطای مطلق (MAE)<sup>۳</sup> می‌باشند، استفاده گردید. معیار آماری ضریب تعیین برای تعیین همبستگی بین مقادیر واقعی و برآورده شده و همچنین جذر میانگین مربع خطأ و میانگین خطای مطلق برای تعیین مقادیر خطأ برآورده شده، بکار برده شدند. روابط مربوطه بصورت زیر می‌باشند:

$$R^2 = \frac{\left( \sum_{i=1}^n (X_i - \bar{X})(Y_i - \bar{Y}) \right)^2}{\left( \sum_{i=1}^n (X_i - \bar{X})^2 (Y_i - \bar{Y})^2 \right)} \quad (2)$$

$$RMSE = \sqrt{\frac{\sum_{i=1}^n (X_i - Y_i)^2}{n}} \quad (3)$$

$$MAE = \frac{\sum_{i=1}^n |X_i - Y_i|}{n} \quad (4)$$

که در این روابط،  $X_i$  و  $Y_i$  امين داده واقعی و برآورده شده،  $\bar{X}$  و  $\bar{Y}$  میانگین داده‌های  $X_i$  و  $Y_i$  و  $n$  تعداد نمونه‌های ارزیابی می‌باشند.

## نتایج و بحث

ویژگی‌های فیزیوگرافی حوضه‌های آبخیز انتخابی: با استفاده از نقشه‌های موضوعی تهیه شده در محدوده استان همدان، مقادیر پارامترهای فیزیوگرافی حوضه‌های آبریز ایستگاههای آب‌سنجدی منتخب محاسبه شد. در جدول‌های ۱ و ۲، برخی از مشخصه‌های حوضه‌های آب‌سنجدی ارائه شده است.

- 
- 1- Determination Coefficient
  - 2- Root Mean Square Error (RMSE)
  - 3- Mean Absolute Error (MAE)

مجله پژوهش‌های حفاظت آب و خاک جلد (۱۸)، شماره (۴) ۱۳۹۰

جدول ۱- برخی از مشخصه‌های حوضه‌های آبریز تحت پوشش ایستگاه‌های آب‌سنگی.

| ایستگاه    | مساحت ( $\text{km}^2$ ) | شیب متوسط (درصد) | ارتفاع متوسط (متر) | CN    | دبی بیشینه* ( $\text{m}^3/\text{s}$ ) |
|------------|-------------------------|------------------|--------------------|-------|---------------------------------------|
| نقسیم آب   | ۳۰/۴۳                   | ۴۹/۶۹            | ۲۶۷۷/۶۹            | ۸۷/۰۲ | ۱۱/۴۰                                 |
| رزن        | ۱۲۴/۵۲                  | ۱۲/۴۹            | ۲۱۶۰/۲۵            | ۸۷/۱۵ | ۱۹/۲۸                                 |
| زهتران     | ۴۲۱/۶۵                  | ۹/۲۲             | ۲۰۳۲/۵۷            | ۸۷/۳۱ | ۲۸/۱۶                                 |
| یلغان      | ۲۰۰/۰۸                  | ۲۴/۷۵            | ۲۵۴۲/۰۱            | ۸۷/۹۰ | ۴۲/۶۰                                 |
| سولان      | ۴۲/۲۵                   | ۳۴/۶۲            | ۲۴۴۸/۴۷            | ۸۳/۴۸ | ۲۵/۹۵                                 |
| صالح آباد  | ۱۷۸/۷۹                  | ۲۱/۸۲            | ۲۲۰۲/۰۲            | ۸۰/۲۵ | ۲۷/۱۰                                 |
| بهادریک    | ۲۰۲/۶۰                  | ۱۳/۵۰            | ۲۰۹۳/۶۱            | ۸۷/۶۸ | ۴۱/۲۴                                 |
| قره آخاج   | ۲۰۴/۳۲                  | ۸/۱۵             | ۲۰۸۴/۵۰            | ۸۴/۸۱ | ۲۸/۵۳                                 |
| بوچین      | ۲۰۸/۶۰                  | ۱۵/۶۹            | ۱۹۹۴/۵۶            | ۸۳/۷۱ | ۳۰/۹۱                                 |
| خسر و آباد | ۸۷۷/۶۶                  | ۱۴/۳۱            | ۱۸۰۴/۰۵            | ۸۰/۰۰ | ۳۷/۲۱                                 |
| مرویل      | ۲۸۳/۶۱                  | ۱۷/۴۱            | ۲۱۴۵/۶۶            | ۸۲/۰۲ | ۲۶/۰۳                                 |
| فیروز آباد | ۸۴۷/۵۴                  | ۱۷/۲۴            | ۱۹۵۱/۹۰            | ۸۳/۳۶ | ۲۰/۳۰                                 |
| قرآند      | ۴۸۳/۷۶                  | ۵/۵۰             | ۱۹۷۸/۰۸            | ۸۳/۵۲ | ۳۵/۸۴                                 |
| علی آباد   | ۴۴/۹۳                   | ۲۲/۹۵            | ۲۷۲۹/۹۸            | ۸۷/۳۰ | ۱۰/۶۴                                 |
| جعفر آباد  | ۲۱۷/۳۸                  | ۱۴/۳۹            | ۱۹۷۶/۵۷            | ۸۴/۱۳ | ۳۵/۰۱                                 |
| پیهان      | ۱۱۸/۲۶                  | ۱۷/۳۶            | ۲۰۹۵/۲۴            | ۸۰/۰۰ | ۳۳/۲۸                                 |
| پل جاده    | ۲۵۳/۶۱                  | ۷/۷۷             | ۱۰۴۹/۹۴            | ۸۷/۱۶ | ۱۹/۳۸                                 |

\* بدون در نظر گرفتن دبی پایه

ساختار شبکه مطلوب در تعیین مقادیر دبی سیلانی ایستگاه‌های آب‌سنگی: جهت دستیابی به بهترین شبکه عصبی، مدل‌ها و توابع متفاوت با آرایش نرون‌های مختلفی مورد بررسی قرار گرفتند و به منظور ارزیابی و مقایسه عملکرد شبکه‌ها با یکدیگر، از داده‌های آزمون استفاده گردید. مقادیر خروجی از هر شبکه با مقادیر مشاهده‌ای مقایسه شد و برای ارزیابی آنها از آماره‌های ضریب تعیین، جذر میانگین مربع خطأ و میانگین خطای مطلق استفاده گردید.

نتایج آماری مربوط به برخی ساختارهای مختلف در مراحل آموزش و آزمون، در جدول ۳ ارائه شده است. بر اساس این جدول، بهترین شبکه با مدل پرسپترون چند لایه (MLP)<sup>۱</sup>، از نوع پیشخور عمومیت یافته (FFG)<sup>۲</sup>، تابع فعالیت تانزانیت هایبروبولیک، قانون یادگیری مومتومن و آرایش ۱۰-۵-۴-۱ با دو لایه پنهان به ترتیب با ۵ و ۴ عنصر پردازش بوده است. سنجه‌های ارزیابی دقت شبکه عصبی مصنوعی (آزمون) حاکی از ضریب تعیین  $0.87$ ، ضریب تعیین تعديل شده  $0.87^3$ ، جذر میانگین مربع خطأ برابر  $0.72$  و میانگین خطای مطلق برابر با  $2/83$  مترمکعب در ثانیه برای  $1000$  تکرار<sup>۴</sup> جهت رسیدن به حالت همگرایی بوده است. مقادیر نسبت F، ضریب مومتومن و ضریب یادگیری آموزش مطلوب، به ترتیب  $212/5$  (معنی‌دار در سطح  $5$  درصد)،  $0/7$  و  $1$  بودند که بیانگر ارتباط مطلوب بین مقادیر سیلاب مشاهده شده و برآورد شده می‌باشد. بطور کلی این نتایج مشابه نتایج بدست آمده از تحقیق رضایی و همکاران (۲۰۰۷) می‌باشد و مقایسه مقادیر پیش‌بینی شده با این شبکه و مقادیر مشاهده‌ای، مطابقت خوبی را نشان می‌دهد (شکل ۲).

نتایج تحلیل حساسیت متغیرهای ورودی، در جدول ۴ ارائه شده است. با توجه به این نتایج اثرگذاری متغیرهای ورودی بر دبی سیلابی، از بیشترین به کمترین آنها به ترتیب شامل شبکه متوسط، مساحت گروه هیدرولوژیکی D، بارندگی یکروزه، مساحت گروه هیدرولوژیکی C، متوسط وزنی CN، بارندگی پنج روزه، مساحت گروه هیدرولوژیکی B، مساحت حوضه، مساحت گروه هیدرولوژیکی A و ارتفاع متوسط می‌باشد.

- 
- 1- Multilayer Perceptron
  - 2- Generalized Feed Forward
  - 3- Adjusted R Square
  - 4- Epoch

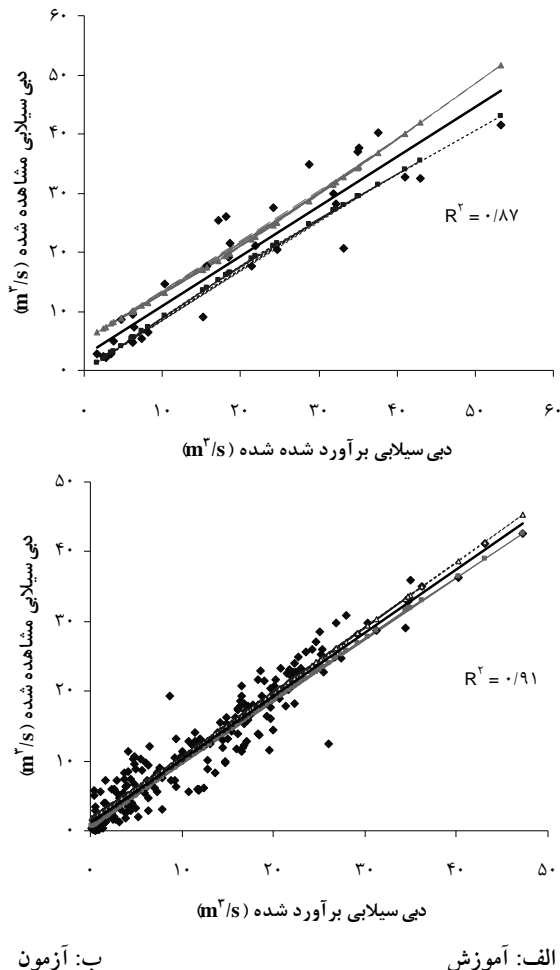
مجله پژوهش‌های حفاظت آب و خاک جلد (۱۸)، شماره (۴) ۱۳۹۰

جدول ۲- درصد مساحت‌های گروه‌های هیدرولوژیکی چهارگانه در هر یک از حوضه‌های آب‌سنگی.

| D گروه | C گروه | B گروه | A گروه | ایستگاه    |
|--------|--------|--------|--------|------------|
| ۱۰۰    | ۰      | ۰      | ۰      | تقسیم آب   |
| ۸۱/۸۰  | ۲/۰۷   | ۱۶/۱۳  | ۰      | رزن        |
| ۸۷/۶۳  | ۰/۲۰   | ۱۲/۱۷  | ۰      | زهران      |
| ۱۰۰    | ۰      | ۰      | ۰      | یلغان      |
| ۸۵/۵۶  | ۰      | ۱۴/۴۴  | ۰      | سولان      |
| ۸۶/۸۲  | ۰      | ۱۳/۱۸  | ۰      | صالح‌آباد  |
| ۸۷/۰۶  | ۱۲/۶۱  | ۰/۳۳   | ۰      | بهادریک    |
| ۵۳/۹۳  | ۴۴/۲۴  | ۱/۸۳   | ۰      | قره‌آغاج   |
| ۷۶/۹۶  | ۰/۰۳   | ۲۳/۰۱  | ۰      | بوجین      |
| ۵۳/۱۲  | ۱۲/۹۳  | ۲۶/۹۰  | ۷/۰۵   | خسرو‌آباد  |
| ۵۸/۵۵  | ۱۰/۴۷  | ۳۰/۰۹  | ۰/۸۹   | مرویل      |
| ۶۲/۲۴  | ۱۶/۶۸  | ۲۰/۰۳  | ۰/۵۵   | فیروز‌آباد |
| ۶۱/۱۲  | ۰/۶۱   | ۳۸/۲۷  | ۰      | قرآکند     |
| ۱۰۰    | ۰      | ۰      | ۰      | علی‌آباد   |
| ۷۴/۰۷  | ۵/۸۰   | ۲۰/۱۳  | ۰      | جعفر‌آباد  |
| ۷۶/۶۱  | ۵      | ۱۸/۳۹  | ۰      | پیهان      |
| ۸۵/۷۴  | ۱      | ۱۳/۲۶  | ۰      | پل‌جاده    |

جدول ۳- نتایج آماری مربوط به برخی ساختارهای مختلف شبکه عصبی.

| مرحله آزمون |      |                |      |      |                | مرحله آموزش |                | آرایش              | قانون یادگیری | تابع فعالیت | مدل |
|-------------|------|----------------|------|------|----------------|-------------|----------------|--------------------|---------------|-------------|-----|
| MAE         | RMSE | R <sup>2</sup> | MAE  | RMSE | R <sup>2</sup> |             |                |                    |               |             |     |
| ۲/۸۳        | ۰/۷۲ | ۰/۸۷           | ۱/۹۶ | ۱/۷۷ | ۰/۹۱           | ۱۰-۵-۴-۱    | مومنتوم        | تائزانت هایپربولیک | GFF           |             |     |
| ۲/۸۸        | ۰/۷۴ | ۰/۸۶           | ۱/۹۸ | ۱/۷۹ | ۰/۹۰           | ۱۰-۶-۱      | مومنتوم        | تائزانت هایپربولیک | GFF           |             |     |
| ۳/۱۲        | ۰/۷۹ | ۰/۸۲           | ۲/۰۷ | ۱/۸۵ | ۰/۸۸           | ۱۰-۵-۱      | مرحله‌ای       | تائزانت هایپربولیک | GFF           |             |     |
| ۳/۰۶        | ۰/۷۶ | ۰/۷۹           | ۲/۰۵ | ۱/۸۲ | ۰/۸۲           | ۱۰-۵-۳-۱    | مرحله‌ای       | تائزانت هایپربولیک | GFF           |             |     |
| ۲/۹۴        | ۰/۷۳ | ۰/۸۱           | ۱/۹۹ | ۱/۸۰ | ۰/۸۵           | ۱۰-۶-۱      | لونبرگ مارکوات | سیگموئید           | GFF           |             |     |



شکل ۲- تغییرات دبی سیلابی مشاهده شده و برآورده شده به روش شبکه عصبی مصنوعی.

پنهانبندی پتانسیل سیل خیزی در زیرحوضه های منطقه مورد مطالعه: نتایج مربوط به برآورده بیشینه بارش ۲۴ ساعته و پنج روزه به ترتیب در جدول های ۵ و ۶ خلاصه شده اند. این نتایج بیانگر آن است که برای پنهانبندی بیشینه بارش ۲۴ ساعته و پنج روزه به ترتیب روش کریجینگ با مدل نمایی و کروی دارای کمترین خطأ و بهترین روش درون یابی می باشند. این نتایج، مشابه نتایج بدست آمده از تحقیق معروفی و همکاران (۲۰۱۰) می باشد که در آن روش کریجینگ به عنوان روش بهینه معرفی گردیده است.

با استفاده از نقشه‌های موضوعی تهیه شده در کل استان، مقادیر مساحت حوضه، ارتفاع و شیب متوسط، مساحت‌های گروه هیدرولوژیکی خاک، متوسط CN حوضه و همچنین بیشینه بارندگی‌های یک و پنج روزه ماقبل سیل نظیر (برای دوره بازگشت ۲۵ ساله)، به عنوان متغیرهای ورودی لحاظ گردید. سپس با بکارگیری مدل منتخب شبکه عصبی، توزیع مکانی دبی سیلابی در منطقه مورد مطالعه برآورد گردید (شکل ۳).

جدول ۴- حساسیت دبی سیلابی به متغیرهای ورودی.

| حساسیت                   | دبی سیلابی (درصد) |
|--------------------------|-------------------|
| مساحت حوضه               | ۱/۴۷              |
| ارتفاع متوسط             | ۰/۸۱              |
| شیب متوسط                | ۱۰/۳۵             |
| مساحت گروه هیدرولوژیکی A | ۱/۳۲              |
| مساحت گروه هیدرولوژیکی B | ۲/۴۱              |
| مساحت گروه هیدرولوژیکی C | ۴/۹۷              |
| مساحت گروه هیدرولوژیکی D | ۷/۹۱              |
| متوسط وزنی شماره منحنی   | ۴/۶۱              |
| بارندگی یکروزه           | ۵/۱۳              |
| بارندگی پنج روزه         | ۳/۱۱              |

همانطور که در شکل ۳ مشاهده می‌شود، زیرحوضه‌های هیدرولوژیکی سیلخیز در استان، به منظور برنامه‌ریزی جهت کترل و مهار سیلاب قابل تفکیک می‌باشند. با توجه به شکل ۳، در جدول ۷، درصد مساحت‌های مربوط به زیرحوضه‌های قرار گرفته در هر یک از پنج کلاس رده‌بندی دبی سیلابی، ارائه شده است. کلاس‌های ۱ و ۳، به ترتیب کمترین و بیشترین میزان سطوح را به خود اختصاص داده‌اند. بر همین اساس مناطق با پتانسیل سیلخیزی زیاد (کلاس ۵)، که دارای دبی سیلابی بین ۴۴/۵۲-۵۳/۲۰ مترمکعب در ثانیه می‌باشند و عمدتاً در مناطق شمال‌غرب، شمال‌شرق و مناطق مرکزی استان (نظیر زیرحوضه‌های زهران، پل‌جاده، سور و مناطق مشرف به کوه الوند) می‌باشند، در حدود ۲۵/۳۲ درصد از مساحت کل استان را در بر می‌گیرند.

## محجتبی شادمانی و همکاران

جدول ۵- نتایج ارزیابی روش های درون یابی برای برآورد بیشینه بارش ۲۴ ساعته در سطح استان همدان.

| روش                 | مدل | RMSE<br>(میلی متر) | MAE<br>(میلی متر) |
|---------------------|-----|--------------------|-------------------|
| دایره‌ای            |     | ۱۳/۱۳              | ۱۰/۲۷             |
| کروی                |     | ۱۳/۲۵              | ۱۰/۳۴             |
| نمایی               |     | ۱۲/۹۲              | ۱۰/۰۸             |
| گوسین               |     | ۱۳/۳۱              | ۱۰/۴۱             |
| اسپلاین کاملاً منظم |     | ۱۳/۶۵              | ۱۰/۸۱             |
| مولتی کوادریک معکوس |     | ۱۳/۱۷              | ۱۰/۲۹             |
| مولتی کوادریک       |     | ۱۵/۴۴              | ۱۲/۶۴             |
| اسپلاین با کشش      |     | ۱۳/۵۹              | ۱۰/۷۰             |
| اسپلاین صفحه نازک   |     | ۱۷/۴۸              | ۱۴/۸۲             |
| توان ۲              |     | ۱۴/۸۶              | ۱۱/۲۸             |
| توان ۳              |     | ۱۵/۱۳              | ۱۱/۴۳             |
| توان ۴              |     | ۱۵/۸۶              | ۱۱/۶۹             |

جدول ۶- نتایج ارزیابی روش های درون یابی برای برآورد بیشینه بارش پنج روزه در سطح استان همدان.

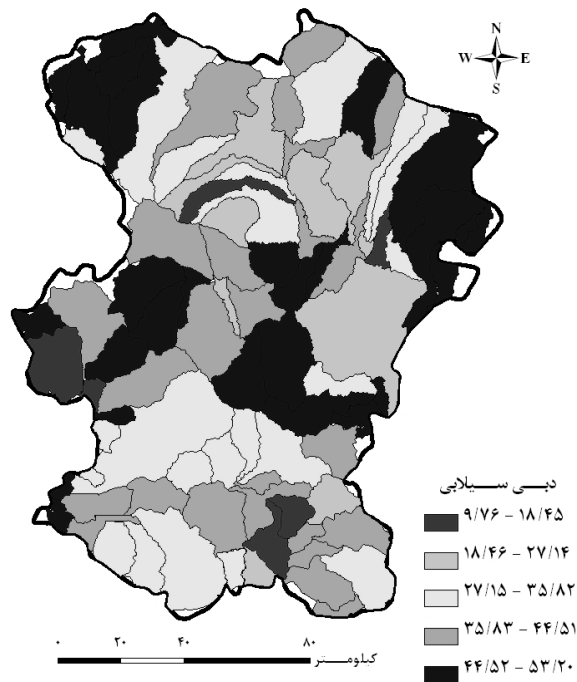
| روش                 | مدل | RMSE<br>(میلی متر) | MAE<br>(میلی متر) |
|---------------------|-----|--------------------|-------------------|
| دایره‌ای            |     | ۲۲/۷۵              | ۱۸/۰۵             |
| کروی                |     | ۲۲/۴۸              | ۱۷/۷۳             |
| نمایی               |     | ۲۲/۷۹              | ۱۸/۰۹             |
| گوسین               |     | ۲۲/۸۱              | ۱۸/۱۱             |
| اسپلاین کاملاً منظم |     | ۲۳/۱۵              | ۱۸/۱۷             |
| مولتی کوادریک معکوس |     | ۲۳/۰۸              | ۱۸/۱۳             |
| مولتی کوادریک       |     | ۲۳/۳۴              | ۱۸/۲۲             |
| اسپلاین با کشش      |     | ۲۳/۱۱              | ۱۸/۱۵             |
| اسپلاین صفحه نازک   |     | ۲۳/۸۳              | ۲۱/۷۳             |
| توان ۲              |     | ۲۳/۳۱              | ۱۷/۹۲             |
| توان ۳              |     | ۲۴/۰۱              | ۱۸/۶۰             |
| توان ۴              |     | ۲۴/۸۴              | ۱۹/۵۸             |

## مجله پژوهش‌های حفاظت آب و خاک جلد (۱۸)، شماره (۴) ۱۳۹۰

جدول ۷- مقادیر عرصه‌های مربوط به کلاس‌های پنج گانه دبی سیلابی.

| کلاس رده‌بندی | محدوده دبی سیلابی | درصد مساحت |
|---------------|-------------------|------------|
| ۱             | ۹/۷۶-۱۸/۴۵        | ۵/۵۱       |
| ۲             | ۱۸/۴۶-۲۷/۱۴       | ۱۴/۷۰      |
| ۳             | ۲۷/۱۵-۳۵/۸۲       | ۲۸/۵۵      |
| ۴             | ۳۵/۸۳-۴۴/۵۱       | ۲۵/۹۲      |
| ۵             | ۴۴/۵۲-۵۳/۲۰       | ۲۵/۳۲      |

همچنین نتایج حاصله از برآورد دبی سیلابی زیرحوضه‌ها، نشان‌دهنده این مطلب است که دبی سیلابی با افزایش مقادیر ارتفاع و CN، افزایش معنی‌داری داشته است که این نتایج با تحقیق مریانجی و معروفی (۲۰۰۵)، سازگاری دارد. همچنین بین میزان سطوح زیرحوضه‌ها و افزایش دبی سیلابی رابطه نسبتاً معکوسی وجود دارد و با افزایش سطح، دبی سیلابی به ازاء واحد سطح کاهش می‌یابد که با نتایج تحقیقات دیگر (میلویل، ۱۹۹۰؛ گودریچ و همکاران، ۱۹۹۷؛ معروفی و همکاران، ۲۰۰۶) مطابقت دارد.



شکل ۳- نقشه توزیع مکانی دبی سیلابی برآورد شده به روش شبکه عصبی مصنوعی ( $m^3/s$ )

## مجتبی شادمانی و همکاران

جدول ۸- مقایسه دبی سیلابی برآورده شده توسط شبکه عصبی متختب با مقادیر سیل با دوره بازگشت ۲۵ ساله در محل ایستگاه‌های آب‌سننجی.

| ایستگاه    | سیل با دوره بازگشت ۲۵ ساله | دبی برآورده شده توسط شبکه عصبی مصنوعی | درصد اختلاف نسبت به سیل ۲۵ ساله | دبی سیل ۳۶ |
|------------|----------------------------|---------------------------------------|---------------------------------|------------|
| تقسیم آب   | ۲۹/۵                       | ۴۰/۳                                  | -۲۹%                            | ۵۹         |
| رزن        | ۲۳/۳                       | ۳۷/۲                                  | +۱۴%                            | ۱۶         |
| زهتران     | ۵۳/۹                       | ۴۴/۹                                  | -۱۷%                            | ۳۸         |
| یلغان      | ۸۳/۹                       | ۵۲/۱                                  | +۵۷%                            | ۳۶         |
| سولان      | ۳۰/۲                       | ۴۱/۳                                  | -۳۴%                            | ۳۸         |
| صالح آباد  | ۳۸/۵                       | ۵۳/۲                                  | +۴۷%                            | ۵          |
| بهادریک    | ۵۴/۴                       | ۵۱/۵                                  | +۵%                             | ۴          |
| قره آغاج   | ۴۰/۷                       | ۴۲/۳                                  | -۴%                             | ۱۰         |
| بوچین      | ۳۹/۷                       | ۴۳/۷                                  | +۱۰%                            | ۶۴         |
| خسرو آباد  | ۸۰                         | ۲۸/۸                                  | +۲۸۰%                           | ۲۸         |
| مرولیل     | ۴۶                         | ۳۳/۱                                  | +۳۷%                            | ۴۴         |
| فیروز آباد | ۶۲/۷                       | ۳۴/۶                                  | +۸۷%                            | ۴          |
| قرآندر     | ۴۶                         | ۴۴/۲                                  | +۴%                             | ۳۴         |
| علی آباد   | ۴۷/۹                       | ۳۱/۲                                  | +۴۷%                            | ۴۵         |
| جعفر آباد  | ۶۰/۹                       | ۳۳/۳                                  | +۱۷%                            | ۶۱         |
| پیهان      | ۸۹/۲                       | ۳۳/۹                                  | +۲۷%                            | ۲۴         |
| پل جاده    | ۶۳/۱                       | ۴۷/۷                                  | +۳۷%                            |            |

مقایسه سیل محاسبه شده توسط شبکه عصبی با مقادیر سیل با دوره بازگشت ۲۵ ساله، در ایستگاه‌های آب‌سننجی: با توجه به اینکه در اغلب طرح‌های متعارف کنترل و مهار سیلابها و طرح‌های کوچک تا متوسط آبخیزداری، اغلب سیلی با دوره بازگشت ۲۵ ساله مورد محاسبه و استفاده قرار می‌گیرد، لذا در این تحقیق سعی گردید که مقادیر سیل محاسبه شده توسط مدل بهینه ارائه شده توسط این تحقیق، با مقادیر سیل ۲۵ ساله منطقه مورد مقایسه قرار گیرد. بدین منظور در محل ایستگاه‌های آب‌سننجی که دارای داده‌های ثبت شده می‌باشند این مقایسه صورت گرفت. نتایج مربوطه

در جدول ۸ ارائه شده‌اند. قابل ذکر است که سیل ۲۵ ساله محاسبه شده در محل ایستگاه‌های آب‌سنجدی مشتمل بر دبی پایه و رواناب مستقیم ناشی از سیلاب است، در صورتی که مقادیر دبی سیلابی برآورد شده توسط مدل بهینه شبکه عصبی فقط مشتمل بر رواناب مستقیم ناشی از سیلاب می‌باشد. بنابراین، بدین‌دلیل این دو مقدار با یکدیگر اختلاف باید داشته باشند. با توجه به جدول ۸ میزان اختلاف نسبت به سیل ۲۵ ساله بین ۴ تا ۶۴ درصد و بطور متوسط در حدود ۳۲ درصد می‌باشد که البته در ۶۵ درصد موارد، مقدار دبی سیلابی برآورد شده توسط مدل بهینه شبکه عصبی، از سیل ۲۵ ساله کمتر است. نکته قابل توجه آن است که با بزرگ شدن سطح حوضه و مشارکت دبی پایه در جریان سیل، میزان این اختلاف بیشتر می‌شود که البته با توجه به ماهیت این دو برآورد و در نظر نگرفتن دبی پایه در مدل بهینه شبکه عصبی، منطقی به نظر می‌رسد.

### نتیجه‌گیری

در این تحقیق با توجه به نواقص موجود آماری و وضعیت پراکنش نامناسب ایستگاه‌های آب‌سنجدی، با بکارگیری تکنیک‌های شبکه عصبی مصنوعی و GIS، دبی سیلابی در زیرحوضه‌های هیدرولوژیکی استان همدان برآورد گردید. رهیافت این مطالعه، مدل عصبی مصنوعی پیشخور می‌باشد که نتیجه مطلوبی را در برآورد داشته و به عنوان مدل بهینه به منظور پنهان‌بندی سیلاب منطقه در نظر گرفته شد. نتایج بدست آمده نشان داد که روش شبکه عصبی مصنوعی قادر به برآورد قابل قبول دبی سیلابی، براساس ویژگی‌های فیزیوگرافی زیرحوضه‌ها بوده و از این روش می‌توان جهت برآورد توزیع مکانی دبی سیلابی به منظور مقایسه پتانسیل سیلخیزی زیرحوضه‌ها، در هنگام نبود داده‌ها و یا توزیع نامطلوب ایستگاه‌های آب‌سنجدی استفاده نمود. همچنین تحلیل حساسیت متغیرهای ورودی مدل نشان داد بیشترین و کمترین تاثیرگذاری متغیرهای ورودی بر دبی سیلابی به ترتیب مقادیر شیب و ارتفاع متوسط حوضه بودند.

### منابع

- 1.Dawson, C.W., Abrahart, R.J., Shamseldin, A.Y., and Wilby, R.L. 2006. Flood estimation at ungauged sites using artificial neural networks. *J. Hydrol.* 319:391-409.
- 2.Ghanavati, E. 2003. Geomorphologic characteristics of Gamasiab basin alluvial fans. *J. Geogr. Res.* 52:174-182. (In Persian)

- 3.Golmohammadi, G., Marofi, S., and Mohammadi, K. 2009. Regionalisation of runoff coefficient in Hamedan province using Geostatistical methods and GIS. *J. Sci. & Tech. Agri. and Natur. Resour.* 46:1-15. (In Persian)
- 4.Goodrich, D.C., Lane, L.J., Shillito, R.M., Miller, S.N., Syed, K.H., and Woolhiser, D.A. 1997. Linearity of basin response as a function of scale in a semiarid watershed, *Water Resour. Res.* 33:12.9-2965.
- 5.Hall M., and Minns, A.W. 1998. Regional flood Frequency Analysis using Artificial Neural Networks. *J. Hydroinfor.* 98:759-763.
- 6.Imrie, C.E., Durucan, S., and Korre, A. 2000. River flow prediction using artificial neural networks: generalisation beyond the calibration range. *J. Hydrol.* 233:138-153.
- 7.Jain, S.K., and Chalisganonkar, D. 2000. Setting up stage-discharge relation using ANN. *J. Hydrol. Eng.* 5:428-433.
- 8.Kerh, T., and Lee, C.S. 2006. Neural networks forecasting of flood discharge at an unmeasured station using river upstream information. *J. Adv. Eng. Software.* 37:533-543.
- 9.Maier, H.R., and Dandy, G.C. 2000. Neural Networks for the prediction and forecasting of water resources variables: a review of modelling issues and applications. *J. Environ. Model. & Software.* 15:101-124.
- 10.Marofi S., Voltz, M., and Moussa, R. 2006. Temporal and Spatial variability of runoff on a Mediterranean agricultural environment. *Pak. J. of Biol. Sci.* 9:5.945-953.
- 11.Marofi, S., Golmohammadi, G., Mohammadi, K. and Zare, Abyaneh H. 2010. Evaluation of Geostatistical Methods for Estimating Spatial Distribution of Annual Rainfall in Hamedan Province, Iran in GIS Media. *J. Agri. Sci.*, (In Persian).
- 12.Maryanaji, Z., and Marofi, S. 2005. Investigation of maximum daily rainfall's runoff in the Gharachay catchment using GIS and application of SCS model. *J. Agri. Res.* 5:3.71-83.
13. Milville, F. 1990. Contribution of the mechanisms of natural recharge in the aquifers by rainfall on the semi-arid climate: Application in the Barogo experimental site. Ph.D. Thesis of the Pierre and Marie Curie University.
- 14.Mohammadi, K., Eslami, H.R., and Dayyani Dardashti, S.H. 2005. Comparison of regression, ARIMA and ANN models for reservoir inflow forecasting using snowmelt equivalent (a case study of Karaj). *J. Agri. Sci. Tech.* 7: 17-30.
- 15.Pereira Filho, A.J., and dos Santos, C.C. 2006. Modeling a densely urbanized watershed with an artificial neural network, weather radar and telemetric data. *J. Hydrol.* 317:31-48
- 16.Rahnama, M.B. 2003. Flood Forecasting in Ghara-aghaej by using neural network artificial. 6<sup>th</sup> Seminar of the Irrigation and decrease of Evaporation, Kerman University, P465-472. (In Persian)
- 17.Rezai, A., Mahdavi, M., Lox, K., Feyznaya, S., and Mehdian, M. H. 2007. Regional peak flows modelling of Sefid Rood Dam's sub basins using artificial neural network. *J. Sci. & Tech. Agri. and Natur. Resour.* 11:25-39. (In Persian)

- 18.Riad, S., Mania, G., Bouchaou, L., and Najjar, Y. 2004. Rainfall-Runoff Model Using an Artificial Neural Network Approach. *J. Math. & Comput. Model.* 40:839-846.
- 19.Sahoo, G.B., Ray, C., and De Carlo, E.H. 2006. Use of neural network to predict flash flood and attendant water qualities of a mountainous stream on Oahu, Hawaii. *J. Hydrol.* 327:525-538.
- 20.Tabari, H., Marofi, S., and Sabziparvar, A.A. 2009. Estimation of daily pan evaporation using artificial neural network and multivariate non-linear regression. *J. Irrig. Sci.*, (In Press).
- 21.Thirumalaiah, K., and Deo, M.C. 2000. Hydrological forecasting using neural network. *J. Hydrol. Eng.* 5:180-189.
- 22.Tokar, A. S., and Johnson, P. A. 1999. Rainfall-runoff modeling using Artificial Neural Network. *J. Hydrol. Eng.* 4:232-239.
- 23.Yamani, M., and Enayati, M. 2006. The analyses of flood data in relation to the geomorphologic specification of Fashand and Behjatabad basins. 2005. *J. Geogr. Res.* 54:47-57. (In Persian)



Gorgan University of Agricultural  
Sciences and Natural Resources

*J. of Water and Soil Conservation*, Vol. 18(4), 2011  
<http://jwst.gau.ac.ir>

## Regional flood discharge modeling in Hamedan province using Artificial Neural Network

**M. Shadmani<sup>1</sup>, \*S. Marofi<sup>2</sup>, K. Mohammadi<sup>3</sup> and A.A. Sabziparvar<sup>4</sup>**

<sup>1</sup>M.Sc. student Dept. of Irrigation and Drainage, Bu-Ali Sina University,

<sup>2</sup>Associate Prof., Dept. of Irrigation and Drainage, Bu-Ali Sina University,

<sup>3</sup>Associate Prof., Dept. of Irrigation and Drainage, Tarbiat-Modarres University,

<sup>4</sup>Associate Prof., Dept. of Irrigation and Drainage, Bu-Ali Sina University

Received: 2009-6-28; Accepted: 2011-4-25

### Abstract

Flood is one of natural hazardous disasters that causes economic and life damages every year. Therefore, scientists have tried to assess the variability of this phenomenon. In this study, the ability of Artificial Neural Network (ANN) and Geographical Information System (GIS) in the estimation of flood discharges of 90 sub-basins of Hamedan Province (with concentration time less than 24 hours) was assessed using a data period of 16 years collected at the 17 hydrometric stations throughout the area. In this regard, area of the basins, elevation and mean slope, bindery of hydrologic groups of soil, weighted curve number as well as daily and 5 day precipitations which occurred before the corresponding floods used as the input variables and the flood discharge defined as the output. Considering the training, validation and testing sets the results showed that the best structure was a feed forward ANN with two hidden layers of 5 and 4 processing elements. In this model, the coefficient of determination, root mean squared error and mean absolute error were 0.87, 0.72 and 2.83, respectively. Finally, using the maximum daily and 5 day precipitations for a return period of 25 years and application of the model, the spatial distribution of the direct runoff was predicted. Therefore, flood mapping of the province was specified to determine the priorities of flood control between the regions. Finally, the results indicated that ANN method was an appropriate tool for flood discharge modeling, especially in the case of missing data or inadequate hydrometric stations.

**Keywords:** Precipitation; Flood Discharge; Modeling; Artificial Neural Network

---

\*Corresponding Author; Email: smarofi@yahoo.com